

PEMBENTUKAN PERMUKAAN KABUR SPLIN-B JENIS-2 NORMAL BAGI MODEL TOPOGRAFI DASAR TASIK



REEDZAL SHAHREEN BIN ADESAH
UMS
UNIVERSITI MALAYSIA SABAH

**FAKULTI SAINS DAN SUMBER ALAM
UNIVERSITI MALAYSIA SABAH
2019**

PEMBENTUKAN PERMUKAAN KABUR SPLIN-B JENIS-2 NORMAL BAGI MODEL TOPOGRAFI DASAR TASIK



REEDZAL SHAHREEN BIN ADESAH

UMS

UNIVERSITI MALAYSIA SABAH

**TESISINI DIKEMUKAKAN UNTUK
MEMENUHI SYARAT MEMPEROLEH IJAZAH
SARJANA SAINS**

**FAKULTI SAINS DAN SUMBER ALAM
UNIVERSITI MALAYSIA SABAH
2019**

UNIVERSITI MALAYSIA SABAH

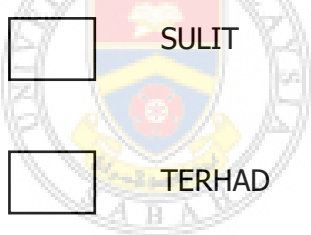
BORANG PENGESAHAN STATUS TESIS

JUDUL: **PEMBENTUKAN PERMUKAAN KABUR SPLIN-B JENIS-2 NORMAL BAGI MODEL TOPOGRAFI DASAR TASIK**

IJAZAH: **SARJANA SAINS (MATEMATIK DENGAN GRAFIK BERKOMPUTER)**

Saya **REEDZAL SHAHREEN BIN ADESAH** Sesi **2016-2019**, mengaku membenarkan tesis Sarjana ini disimpan di Perpustakaan Universiti Malaysia Sabah dengan syarat-syarat kegunaan seperti berikut:-

1. Tesis ini adalah hak milik Universiti Malaysia Sabah.
2. Perpustakaan Universiti Malaysia Sabah dibenarkan membuat salinan untuk tujuan pengajian sahaja.
3. Perpustakaan dibenarkan membuat salinan tesis ini sebagai bahan pertukaran antara institusi pengajian tinggi.
4. Sila tandakan (/):



(Mengandungi maklumat yang berdarjah keselamatan atau kepentingan Malaysia seperti yang termaktub di dalam AKTA RAHSIA 1972)

(Mengandungi maklumat TERHAD yang telah ditentukan oleh organisasi/badan di mana penyelidikan dijalankan)

TIDAK TERHAD

Disahkan Oleh,

REEDZAL SHAHREEN BIN ADESAH
MS1521025T

(Tandatangan Pustakawan)

Tarikh : 01 Ogos 2019

(Dr. Rozaimi Bin Zakaria)
Penyelia

PENGAKUAN

Saya mengakui bahawa Tesis Sarjana ini merupakan hasil usaha dan kerja saya sendiri, melainkan petikan dan ringkasan yang setiap satunya saya telah jelaskan sumbernya.

01 OGOS 2019

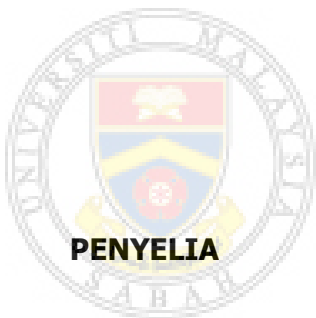
REEDZAL SHAHREEN BIN ADESAH
MS1521025T



UMS
UNIVERSITI MALAYSIA SABAH

PENGESAHAN

NAMA : **REEDZAL SHAHREEN BIN ADESAH**
NO. MATRIK : **MS1521025T**
TAJUK : **PEMBENTUKAN PERMUKAAN KABUR SPLIN-B JENIS-2 NORMAL BAGI MODEL TOPOGRAFI DASAR TASIK**
IJAZAH : **SARJANA SAINS (MATEMATIK DENGAN GRAFIK BERKOMPUTER)**
TARIKH VIVA : **26 JUN 2019**



DISAHKAN OLEH
UMS
Tandatangan
UNIVERSITI MALAYSIA SABAH

Dr. Rozaimi Zakaria

PENGHARGAAN

Alhamdulillah, bersyukur ke hadrat Ilahi kerana dengan limpah dan kurniaNya, akhirnya saya berjaya menyiapkan projek tahun akhir ini. Saya ingin mengucapkan setinggi-tinggi penghargaan dan terima kasih kepada penyelia saya, Dr. Rozaimi Zakaria atas segala bantuan, tunjuk ajar yang diberikan kepada saya serta bimbingan yang sangat bermakna untuk menyiapkan projek ini selain daripada sentiasa memberi kata-kata semangat di saat saya berputus asa serta Dr. Suzelawati Zenian yang banyak memberi bantuan kepada saya dalam penulisan tesis ini.

Ucapan setinggi-tinggi penghargaan ini juga ditujukan khas buat ibu serta kakak tercinta, Puan Sumarni Binti Murdi dan Cik Renny Daniyatie Binti Adesah atas doa dan sokongan padu dalam pelbagai aspek tidak kira rohani, jasmani, fizikal, mental mahupun dari aspek kewangan di sepanjang tempoh memastikan saya berjaya menyiapkan projek kajian ini.

Akhir sekali, ucapan terima kasih ini ditujukan buat rakan-rakan seperjuangan dalam program Matematik dengan Grafik Berkomputer dan M-GRAVs iaitu Puan Asdalifah Talibe, Myzra, Nana, Raima, Jamil, AJ dan juga Kak Siti yang telah banyak menyokong saya menyiapkan tesis ini dan banyak memberi semangat, dorongan positif dan motivasi terhadap saya dalam menyiapkan projek ini. Tidak lupa juga sahabat handai saya iaitu Audey dan Farhah atas semangat yang diberikan tidak henti-henti, membantu saya dalam penulisan tesis serta sentiasa berada disisi saya ketika saya dalam berkeadaan putus asa. Terima kasih juga kepada semua yang telah membantu secara langsung dan tidak langsung dalam tempoh pemprosesan tesis ini.

REEDZAL SHAHREEN BIN ADESAH

9 MAC 2019

ABSTRAK

Proses pungutan data biasanya dilaksanakan dalam kebanyakan kajian dan pungutan data yang tepat amat penting bagi sesebuah kajian. Ini kerana, pungutan data yang tepat dapat memberikan hasil kajian yang memuaskan. Akan tetapi, masalah ketakpastian dalam sesebuah data boleh berlaku disebabkan beberapa faktor yang mengganggu proses pungutan data yang dijalankan. Data yang dipungut juga boleh diklasifikasikan sebagai data ketakpastian kompleks apabila berlakunya pertindihan faktor-faktor yang menyebabkan ketakpastian itu berlaku. Ketakpastian kompleks bermaksud ketakpastian yang berlandaskan kepada dua atau lebih ketaktentuan fizikal set data tersebut. Oleh yang demikian, keperluan satu teori dalam mentakrifkan masalah set data ketakpastian kompleks sangat dititikberatkan bagi menjadikan set data tersebut boleh ditaksirkan. Maka, teori set kabur jenis-2 (TSKJ2) dapat digunakan bagi menjadikan set data ketakpastian kompleks menjadi set titik data kabur jenis-2 (TDKJ2). Keadaan ini juga dapat dilakukan dengan penggunaan takrifan nombor kabur jenis-2 (NKJ2) dalam bentuk segitiga yang turut menjadikan selang NKJ2. Bagi kajian ini, set TDKJ2 ditakrifkan dalam bentuk normal. Untuk memodelkan set TDKJ2, fungsi yang digunakan adalah fungsi permukaan hasil darab splin-B. Fungsi ini terlebih dahulu ditakrifkan dalam bentuk fungsi permukaan splin-B kabur jenis-2. Kemudian, fungsi ini disuaikan dengan set TDKJ2 bagi menjadikan model permukaan splin-B kabur jenis-2 (PsBKJ2) dalam bentuk normal. Bagi mengadaptasikan model PsBKJ2, model topografi dasar tasik kenyir dapat diimplementasikan. Ini disebabkan oleh set data topografi dasar tasik kenyir mempunyai unsur-unsur ketakpastian kompleks apabila wujud tindanan ralat-ralat ketika set data ini direkodkan. Maka, bagi memperolehi unjuran topografi dasar tasik kenyir secara lengkap, set data ketakpastian kompleks bagi topografi dasar tasik kenyir amat diperlukan bagi menjalani proses analisis dan perihalan data dalam bentuk permukaan dapat dilakukan dengan sempurna dan lebih terperinci. Selain itu, proses-proses yang melibatkan proses pengkaburan, penurunan dan penyahkaburan dilakukan bagi memperolehi dapatan akhir model permukaan topografi dasar tasik kenyir yang tunggal. Keberkesanan hasil pembentukan model permukaan topografi dasar tasik kenyir ini terbukti apabila ralat yang diperoleh adalah bernilai kecil dan model yang digunakan dalam kajian ini dapat memodelkan set data yang berunsurkan ketakpastian kompleks.

ABSTRACT

THE FORMATION OF NORMAL TYPE-2 FUZZY B-SPLINE SURFACE FOR THE TOPOGRAPHY OF THE LAKEBED MODEL

Process of data collection are usually implemented in most researches and accurate data is very important for a research. This is because the accurate data collection can provide excellent results for a research. However, the problem of uncertainty in a data can occur due to several factors that interfere the process of data collection that is being carried out. The data collected may also be classified as complex uncertainty data as duplication of the factors causing the uncertainty to occur. Complex uncertainty means uncertainty based on two or more physical sets of data sets. Therefore, the need for a theory in defining complex uncertainty problem sets is very important in order to make the data set assessable. So, the Type-2 Fuzzy Set Theory (TSKJ2) is used to derived complex uncertainty sets to Type-2 Fuzzy Data Points (TDKJ2). This can also be done with the use of the Type-2 Fuzzy Number (NKJ2) definition in the form of triangle fuzzy number that also make the NKJ2 interval. For this study, TDKJ2 sets are defined in the normal form. The TDKJ2 model is done by using the function of the product of B-spline surface. Firstly, this function is defined in the form of type-2 fuzzy B-spline surface functions. Then, this function is adjusted with the TDKJ2 set to make the Type-2 Fuzzy B-spline Surface (PsBKJ2) in its normal form. To adapt the PsBKJ2 model, the lakebed topography model for Tasik Kenyir can be implemented. This is because the the lakebed topography model for Tasik Kenyir data sets have complex uncertainty elements when there is an error-overlay stack when this data set is recorded. Therefore, to obtain a complete the lakebed topography model for Tasik Kenyir projection, a complex uncertainty set for the lakebed topography model for Tasik Kenyir is needed to undergo analysis and data processing in the form of surface can be done perfectly and more detailed. In addition, processes involving the fuzzification, type-reduction and defuzzification processes are implemented to obtain the final findings of a single the lakebed topography model for Tasik Kenyir surface model. The effectiveness of the formulation of the the lakebed topography model for Tasik Kenyir surface model is proven when the errors obtained are small and the models used in this study are able to model complex uncertainties in a set of data.

SENARAI KANDUNGAN

| | HALAMAN |
|--------------------------|----------------|
| TAJUK | i |
| PENGAKUAN | ii |
| PENGESAHAN | iii |
| PENGHARGAAN | iv |
| ABSTRAK | v |
| ABSTRACT | vi |
| SENARAI KANDUNGAN | vii |
| SENARAI JADUAL | x |
| SENARAI RAJAH | xi |
| SENARAI SINGKATAN | xvi |

BAB 1 PENDAHULUAN

| | | |
|-----|-------------------------|----|
| 1.1 | Pengenalan | 1 |
| 1.2 | Latar Belakang Kajian | 3 |
| 1.3 | Penyataan Masalah | 6 |
| 1.4 | Sorotan Literatur | 7 |
| 1.5 | Kepentingan Kajian | 11 |
| 1.6 | Objektif Kajian | 11 |
| 1.7 | Skop Kajian | 12 |
| 1.8 | Susunan Kandungan Tesis | 12 |
| 1.9 | Kesimpulan | 13 |

BAB 2 TEORI SET KABUR JENIS-1 DAN JENIS-2

| | | |
|-----|---|----|
| 2.1 | Pengenalan | 14 |
| 2.2 | Set Kabur Jenis-1 dan Jenis-2 | 15 |
| 2.3 | Jenis-jenis Set Kabur Jenis-2 | 17 |
| 2.4 | Selang Set Kabur Jenis-2 Normal | 20 |
| | 2.4.1 Operasi Selang Set Kabur Jenis-2 Normal | 21 |
| | 2.4.2 Proses Pengkaburan terhadap Selang Set Kabur Jenis-2 Normal | 24 |
| | 2.4.3 Kaedah-Penurunan bagi Selang Set Kabur Jenis-2 Normal | 27 |

| | | |
|-----|---|----|
| 2.5 | Nombor dan Aritmetik Kabur Jenis-2 Normal | 29 |
| | 2.5.1 Nombor Kabur Jenis-2 Normal | 29 |
| | 2.5.2 Aritmetik Kabur Jenis-2 Normal | 32 |
| 2.6 | Hubungan Kabur Jenis-2 Normal | 33 |
| 2.7 | Penyahkaburan bagi Set Kabur Jenis-2 Normal | 34 |
| 2.8 | Kesimpulan | 34 |

**BAB 3 TITIK KAWALAN DAN DATA KABUR JENIS-2
NORMAL**

| | | |
|-----|---|----|
| 3.1 | Pengenalan | 35 |
| 3.2 | Titik Kawalan dan Data Kabur Jenis-2 Normal | 37 |
| 3.3 | Pengkaburan Titik Data Kabur Jenis-2 | 42 |
| | 3.3.1 Pengkaburan Titik Data Kabur Jenis-2 Normal | 42 |
| 3.4 | Operasi Potongan-Alfa terhadap Titik Kawalan dan Data Kabur Jenis-2 Normal | 50 |
| 3.5 | Model Penurunan Titik Kawalan dan Data Kabur Jenis- 2 Normal | 56 |
| 3.6 | Model Penyahkaburan Titik Kawalan dan Data Kabur Jenis-2 Normal | 61 |
| 3.7 | Kesimpulan | 65 |

BAB 4 PEMODELAN SPLIN-B KABUR JENIS-2 NORMAL

| | | |
|-----|--|----|
| 4.1 | Pengenalan | 66 |
| 4.2 | Pemodelan Lengkung dan Permukaan Splin-B Kabur Jenis-2 | 67 |
| | 4.2.1 Model Lengkung Splin-B Kabur Jenis-2 | 68 |
| | 4.2.2 Model Permukaan Splin-B Kabur Jenis-2 | 71 |
| 4.3 | Pemodelan Lengkung dan Permukaan Splin-B Kabur Jenis-2 Normal | 73 |
| 4.4 | Pemodelan Pengkaburan Lengkung dan Permukaan Splin-B Kabur Jenis-2 Normal | 75 |
| 4.5 | Pemodelan Penurunan Lengkung dan Permukaan Splin-B Kabur Jenis-2 Normal | 81 |
| 4.6 | Pemodelan Penyahkaburan Lengkung dan Permukaan Splin-B Kabur Jenis-2 Normal | 86 |

| | | |
|----------------|--|-----|
| 4.7 | Kesimpulan | 90 |
| BAB 5 | PELAKSANAAN MODEL PERMUKAAN SPLIN-B KABUR JENIS-2 NORMAL | |
| 5.1 | Pengenalan | 91 |
| 5.2 | Pentakrifan Data Batimetri Tasik Kenyir Kabur Jenis-2 Normal | 93 |
| 5.3 | Pelaksanaan Model Permukaan Dasar Tasik Kenyir Kabur Jenis-2 Normal | 98 |
| | 5.3.1 Pemodelan Data Batimetri Tasik Kenyir Kabur Jenis-2 Normal | 98 |
| | 5.3.2 Proses Pengkaburan Data Batimetri Tasik Kenyir Kabur Jenis-2 Normal | 100 |
| | 5.3.3 Proses Penurunann Data Batimetri Tasik Kenyir Kabur Jenis-2 Normal | 103 |
| | 5.3.4 Proses Penyahkaburan Data Batimetri Tasik Kenyir Kabur Jenis-2 Normal | 105 |
| 5.4 | Pengesahan Model Permukaan Dasar Tasik Kenyir Kabur Jenis-2 Normal | 107 |
| 5.5 | Perbincangan Kesimpulan | 109 |
| BAB 6 | KESIMPULAN DAN CADANGAN | |
| 6.1 | Kesimpulan Kajian | 111 |
| 6.2 | Hasil dan Sumbangan Kajian | 112 |
| 6.3 | Cadangan Kajian Lanjutan | 113 |
| RUJUKAN | | 115 |

SENARAI JADUAL

| | HALAMAN |
|---|----------------|
| Jadual 2.1: Operasi kesatuan dan persilangan bagi penggabungan SSKJ2N. | 24 |
| Jadual 3.1: Contoh nilai-nilai bagi setiap TKKJ2N | 52 |
| Jadual 3.2: Contoh berangka operasi potongan-alfa terhadap TKKJ2N dengan $\alpha_j < \alpha_{(FKB)_j} \leq \alpha_{(FKA)_j}$ iaitu $\alpha = 0.5$. | 54 |
| Jadual 3.3: Contoh berangka operasi potongan-alfa terhadap TKKJ2N dengan $\alpha_{(FKB)_j} < \alpha_j \leq \alpha_{(FKA)_j}$ iaitu $\alpha = 0.8$. | 56 |
| Jadual 3.4: Contoh berangka proses perolehan KP- α -TKKJ2N, \widetilde{FP}_α dengan nilai alfa $\alpha_j < \alpha_{(FKB)_j} \leq \alpha_{(FKA)_j}$ iaitu $\alpha = 0.5$. | 60 |
| Jadual 3.5: Contoh berangka proses perolehan KP- α -TKKJ2N, \widetilde{FP}_α dengan nilai alfa $\alpha_{(FKB)_j} < \alpha_j \leq \alpha_{(FKA)_j}$ iaitu $\alpha = 0.8$. | 60 |
| Jadual 3.6: Contoh berangka proses penyahkburan untuk TKKJ2N. | 62 |

SENARAI RAJAH

| | HALAMAN |
|--|----------------|
| Rajah 1.1: Komponen-komponen di dalam TSKJ2 | 9 |
| Rajah 2.1: Ilustrasi struktur set kabur di dalam set semesta | 16 |
| Rajah 2.2: Ilustrasi bagi fungsi keahlian jenis-2 | 17 |
| Rajah 2.3: Jenis SKJ2 bagi kes ketakpastian pada tapak | 19 |
| Rajah 2.4: Jenis SKJ2 bagi kes ketakpastian pada fungsi keahlian dan mempunyai tapak yang sama | 19 |
| Rajah 2.5: SSKJ2N bagi \bar{F}_A berbentuk segitiga | 21 |
| Rajah 2.6: SSKJ2N bagi \bar{F}_B berbentuk Gaussian | 22 |
| Rajah 2.7: SSKJ2N bagi \bar{F}_C berbentuk trapezoid | 22 |
| Rajah 2.8: Ilustrasi α -SSKJ2N, $\alpha\dot{F}_\alpha$ bagi SSKJ2N, \dot{F} | 26 |
| Rajah 2.9: SSKJ2N, \dot{F} yang selanjar dengan FKB-nya, F^\downarrow , FKA-nya, F^\uparrow dan potongan-alfanya | 27 |
| Rajah 2.10: Ilustrasi untuk takrifan SNKJ2N | 31 |
| Rajah 3.1: Ilustrasi TDKJ2/TKKJ2 dalam bentuk normal | 37 |
| Rajah 3.2: Ilustrasi TDKJ2N/TKKJ2N | 39 |
| Rajah 3.3: Proses pentakrifian TDKJ2N/TKKJ2N | 40 |
| Rajah 3.4: TDKJ2N dan selang $\langle \bar{F}_{(x_i,y_i)\alpha_j}^{\leftarrow}, \bar{F}_{(x_i,y_i)\alpha_j}^{\rightarrow}, F_{(x_i,y_i)}, \bar{F}_{(x_i,y_i)\alpha_j}^{\leftarrow}, \bar{F}_{(x_i,y_i)\alpha_j}^{\rightarrow} \rangle$ pada set aras- $\alpha^{0.35}$ dalam selang $(0,1]$ | 42 |
| Rajah 3.5: Penyesuaian semua TDKJ2N pada paksi-x | 44 |
| Rajah 3.6: Penyesuaian sebahagian TDKJ2N pada paksi-x | 44 |
| Rajah 3.7: Penyesuaian semua TDKJ2N pada paksi-y | 45 |
| Rajah 3.8: Penyesuaian sebahagian TDKJ2N pada paksi-y | 46 |
| Rajah 3.9: Penyesuaian semua data adalah TDKJ2N berpenjuru kiri-kanan | 47 |
| Rajah 3.10: Penyesuaian sebahagian data adalah TDKJ2N berpenjuru kiri-kanan | 48 |
| Rajah 3.11: Penyesuaian semua data adalah TDKJ2N berpenjuru kanan-kiri | 49 |

| | | |
|-------------|---|----|
| Rajah 3.12: | Penyesuaian sebahagian data adalah TDKJ2N berpenjuru kanan-kiri | 49 |
| Rajah 3.13: | Gambaran operasi potongan-alfa dan selang TKKJ2N | 52 |
| Rajah 3.14: | Gambaran operasi potongan-alfa terhadap TKKJ2N dengan $\alpha_j < \alpha_{(FKB)_j} \leq \alpha_{(FKA)_j}$ | 54 |
| Rajah 3.15: | Gambaran operasi potongan-alfa terhadap TKKJ2N dengan $\alpha_{(FKB)_j} < \alpha_j \leq \alpha_{(FKA)_j}$ | 55 |
| Rajah 3.16: | Ilustrasi proses perolehan KP- α -TKKJ2N, \widetilde{FP}_α dengan nilai alfa $\alpha_j < \alpha_{(FKB)_j} \leq \alpha_{(FKA)_j}$ | 58 |
| Rajah 3.17: | Ilustrasi proses perolehan KP- α -TKKJ2N, \widetilde{FP}_α dengan nilai alfa $\alpha_{(FKB)_j} < \alpha_j \leq \alpha_{(FKA)_j}$ | 59 |
| Rajah 3.18: | Ilustrasi proses penyahkburan bagi TKKJ2N dengan nilai alfa $\alpha_j < \alpha_{(FKB)_j} \leq \alpha_{(FKA)_j}$ | 63 |
| Rajah 3.19: | Ilustrasi proses penyahkburan bagi TKKJ2N dengan nilai alfa $\alpha_{(FKB)_j} < \alpha_j \leq \alpha_{(FKA)_j}$ | 64 |
| Rajah 4.1: | Contoh ilustrasi model LsBKJ2 berbentuk kubik dengan mempunyai TKKJ2 | 69 |
| Rajah 4.2: | Contoh ilustrasi model PsBKJ2 berbentuk bikubik dengan mempunyai TKKJ2 | 72 |
| Rajah 4.3: | Contoh ilustrasi model LsBKJ2 dengan mempunyai TKKJ2N berserta ilustrasi TKKJ2N dalam bentuk SSKJ2N | 74 |
| Rajah 4.4: | Contoh ilustrasi model PsBKJ2N dengan mempunyai TKKJ2N berserta ilustrasi TKKJ2N dalam bentuk SSKJ2N | 75 |
| Rajah 4.5: | Contoh ilustrasi model α -LsBKJ2N untuk $\alpha_j < \alpha_{(FKB)_j} \leq \alpha_{(FKA)_j}$ dengan mempunyai TKKJ2N serta ilustrasi TKKJ2N dalam bentuk SSKJ2N | 77 |
| Rajah 4.6: | Contoh ilustrasi model α -LsBKJ2N untuk $\alpha_{(FKB)_j} < \alpha_j \leq \alpha_{(FKA)_j}$ dengan mempunyai TKKJ2N serta ilustrasi TKKJ2N dalam bentuk SSKJ2N | 78 |

| | | |
|-------------|---|----|
| Rajah 4.7: | Contoh ilustrasi model α -PsBKJ2N untuk $\alpha_j < \alpha_{(FKB)_j} \leq \alpha_{(FKA)_j}$ dengan mempunyai TKKJ2N serta ilustrasi TKKJ2N dalam bentuk SSKJ2N | 80 |
| Rajah 4.8: | Contoh ilustrasi model α -PsBKJ2N untuk $\alpha_{(FKB)_j} < \alpha_j \leq \alpha_{(FKA)_j}$ dengan mempunyai TKKJ2N serta ilustrasi TKKJ2N dalam bentuk SSKJ2N | 81 |
| Rajah 4.9: | Contoh ilustrasi model KP- α -LsBKJ2N untuk $\alpha_j < \alpha_{(FKB)_j} \leq \alpha_{(FKA)_j}$ dengan mempunyai TKKJ2N serta ilustrasi TKKJ2N dalam bentuk SSKJ2N | 83 |
| Rajah 4.10: | Contoh ilustrasi model KP- α -LsBKJ2N untuk $\alpha_{(FKB)_j} < \alpha_j \leq \alpha_{(FKA)_j}$ dengan mempunyai TKKJ2N serta ilustrasi TKKJ2N dalam bentuk SSKJ2N | 83 |
| Rajah 4.11: | Contoh ilustrasi model KP- α -PsBKJ2N untuk $\alpha_j < \alpha_{(FKB)_j} \leq \alpha_{(FKA)_j}$ dengan mempunyai TKKJ2N serta ilustrasi TKKJ2N dalam bentuk SSKJ2N | 85 |
| Rajah 4.12: | Contoh ilustrasi model KP- α -PsBKJ2N untuk $\alpha_{(FKB)_j} < \alpha_j \leq \alpha_{(FKA)_j}$ dengan mempunyai TKKJ2N serta ilustrasi TKKJ2N dalam bentuk SSKJ2N | 85 |
| Rajah 4.13: | Contoh ilustrasi model LsBKJ2NNR untuk $\alpha_j < \alpha_{(FKB)_j} \leq \alpha_{(FKA)_j}$ dengan mempunyai TKKJ2N serta ilustrasi TKKJ2N dalam bentuk SSKJ2N | 87 |
| Rajah 4.14: | Contoh ilustrasi model LsBKJ2NNR untuk $\alpha_{(FKB)_j} < \alpha_j \leq \alpha_{(FKA)_j}$ dengan mempunyai TKKJ2N serta ilustrasi TKKJ2N dalam bentuk SSKJ2N | 87 |
| Rajah 4.15: | Contoh ilustrasi model PsBKJ2NNR untuk $\alpha_j < \alpha_{(FKB)_j} \leq \alpha_{(FKA)_j}$ dengan mempunyai TKKJ2N serta ilustrasi TKKJ2N dalam bentuk SSKJ2N | 89 |

| | | |
|-------------|---|-----|
| Rajah 4.16: | Contoh ilustrasi model PsBkj2NNR untuk $\alpha_{(FKB)_j} < \alpha_j \leq \alpha_{(FKA)_j}$ dengan mempunyai TKKJ2N serta ilustrasi TKKJ2N dalam bentuk SSKJ2N | 89 |
| Rajah 5.1: | Contoh ilustrasi mengenai teknik pengambilan data batimetri bagi permukaan dasar tasik | 92 |
| Rajah 5.2: | Taburan data batimetri rangup bagi PDTK dengan paksi-(x, y, z) | 95 |
| Rajah 5.3: | Data batimetri PDTK rangup minimum dan maksimum | 95 |
| Rajah 5.4: | Ilustrasi struktur DBTKKJ2N tanpa jaringan kawalan DBTKKJ2N | 97 |
| Rajah 5.5: | Ilustrasi struktur DBTKKJ2N dengan jaringan kawalan DBTKKJ2N | 97 |
| Rajah 5.6: | Model PDBTKKJ2N dengan jaringan kawalan DBTKKJ2N yang mempunyai DBTKKJ2N serta paksi-(x, y, z) | 99 |
| Rajah 5.7: | Model PDBTKKJ2N dengan jaringan kawalan DBTKKJ2N yang mempunyai DBTKKJ2N | 99 |
| Rajah 5.8: | Model PDBTKKJ2N tanpa DBTKKJ2N dan jaringan kawalan DBTKKJ2N | 100 |
| Rajah 5.9: | Lapisan keratan pelbagai sudut bagi model PDBTKKJ2N dengan jaringan kawalan DBTKKJ2N yang mempunyai DBTKKJ2N | 100 |
| Rajah 5.10: | Ilustrasi model α -PDBTKKJ2N untuk $\alpha_j < \alpha_{(FKB)_j} \leq \alpha_{(FKA)_j}$ dengan jaringan kawalan DBTKKJ2N yang mempunyai DBTKKJ2N | 102 |
| Rajah 5.11: | Ilustrasi model α -PDBTKKJ2N untuk $\alpha_{(FKB)_j} < \alpha_j \leq \alpha_{(FKA)_j}$ dengan jaringan kawalan DBTKKJ2N yang mempunyai DBTKKJ2N | 103 |
| Rajah 5.12: | Ilustrasi model KP- α -PDBTKKJ2N untuk $\alpha_j < \alpha_{(FKB)_j} \leq \alpha_{(FKA)_j}$ dengan mempunyai DBTKKJ2N | 104 |

| | | |
|-------------|---|-----|
| Rajah 5.13: | Ilustrasi model KP- α -PDBTKJ2N untuk $\alpha_{(FKB)_j} < \alpha_j \leq \alpha_{(FKA)_j}$ dengan mempunyai DBTKJ2N | 105 |
| Rajah 5.14: | Ilustrasi model PDBTKJ2NNR untuk $\alpha_j < \alpha_{(FKB)_j} \leq \alpha_{(FKA)_j}$ dengan mempunyai DBTKJ2N | 106 |
| Rajah 5.15: | Ilustrasi model PDBTKJ2NNR untuk $\alpha_{(FKB)_j} < \alpha_j \leq \alpha_{(FKA)_j}$ dengan mempunyai DBTKJ2N | 107 |
| Rajah 5.16: | Ralat bagi model PDBTKJ2NNR untuk $\alpha_j < \alpha_{(FKB)_j} \leq \alpha_{(FKA)_j}$ | 108 |
| Rajah 5.17: | Ralat bagi model PDBTKJ2NNR untuk $\alpha_{(FKB)_j} < \alpha_j \leq \alpha_{(FKA)_j}$ | 108 |



SENARAI SINGKATAN

| Singkatan | Keterangan |
|--------------------|---|
| CAGD | - <i>Computer Aided Geometric Design</i> |
| DBT | - Data Batimetri Tasik |
| DBTKKJ2N | - Data Batimetri Tasik Kenyir Kabur Jenis-2 Normal |
| FKA | - Fungsi Keahlian Atas |
| FKB | - Fungsi Keahlian Bawah |
| HKJ1 | - Hubungan Kabur Jenis-1 |
| HKJ2 | - Hubungan Kabur Jenis-2 |
| HKJ2N | - Hubungan Kabur Jenis-2 Normal |
| KT | - Ketakpastian Tapak |
| LsBKJ1 | - Lengkung splin-B Kabur Jenis-1 |
| LsBKJ2 | - Lengkung splin-B Kabur Jenis-2 |
| LsBKJ2N | - Lengkung splin-B Kabur Jenis-2 Normal |
| LsBKJ2NNR | - Lengkung splin-B Kabur Jenis-2 Normal Nyahkabur Rangup |
| MKJ1 | - Model Kabur Jenis-1 |
| MKJ2 | - Model Kabur Jenis-2 |
| MKJ2N | - Model Kabur Jenis-2 Normal |
| NKJ1 | - Nombor Kabur Jenis-1 |
| NKJ2 | - Nombor Kabur Jenis-2 |
| NKJ2N | - Nombor Kabur Jenis-2 Normal |
| PDBTKKJ2N | - Permukaan Data Batimetri Tasik Kenyir Kabur Jenis-2 Normal |
| PDBTKKJ2NNR | - Permukaan Data Batimetri Tasik Kenyir Kabur Jenis-2 Normal Nyahkabur Rangup |
| PDTK | - Permukaan Dasar Tasik Kenyir |
| PsBKJ2 | - Permukaan splin-B Kabur Jenis-2 |
| PsBKJ2N | - Permukaan splin-B Kabur Jenis-2 Normal |
| PsBKJ2NNR | - Permukaan splin-B Kabur Jenis-2 Normal Nyahkabur Rangup |
| RGBK | - Rekabentuk Geometri Berbantuan Komputer |
| SKJ1 | - Set Kabur Jenis-1 |

- SKJ2** - Set Kabur Jenis-2
- SKJ2N** - Set Kabur Jenis-2 Normal
- SNKJ2N** - Selang Nombor Kabur Jenis-2 Normal
- SSKJ2** - Selang Set Kabur Jenis-2
- SSKJ2** - Selang Set Kabur Jenis-2 Normal
- SsSNKJ2N** - Subset Selang Nombor Kabur Jenis-2 Normal
- SsSNKJ1** - Subset Selang Nombor Kabur Jenis-1
- STDKJ2N** - Selang Titik Data Kabur Jenis-2 Normal
- STKKJ2N** - Selang Titik Kawalan Kabur Jenis-2 Normal
- TDKJ1** - Titik Data Kabur Jenis-1
- TDKJ2** - Titik Data Kabur Jenis-2
- TDKJ2N** - Titik Data Kabur Jenis-2 Normal
- TDKJ2NNR** - Titik Data Kabur Jenis-2 Normal Nyahkabur
Rangup
- TKKJ1** - Titik Kawalan Kabur Jenis-1
- TKKJ2** - Titik Kawalan Kabur Jenis-2
- TKKJ2N** - Titik Kawalan Kabur Jenis-2 Normal
- TKKJ2NNR** - Titik Kawalan Kabur Jenis-2 Normal Nyahkabur
Rangup
- TSKJ1** - Teori Set Kabur Jenis-1
- TSKJ2** - Teori Set Kabur Jenis-2
- TSKJ2N** - Teori Set Kabur Jenis-2 Normal

BAB 1

PENDAHULUAN

1.1 Pengenalan

Alam semesta yang terbentang luas ini telah dicipta sempurna oleh Tuhan dan mempunyai banyak rahsia di sebaliknya yang masih belum diterokai oleh manusia yang merupakan penghuni kepada alam ini. Konsep kesempurnaan telah mempengaruhi kehidupan manusia sejagat sejak berkurun lamanya. Konsep ini mempengaruhi umat manusia dalam pelbagai aspek seperti kesempurnaan hidup. Manusia juga tidak lari daripada sifat ingin tahu untuk menjadikan kehidupan mereka lebih sempurna dan mempelajari pelbagai ilmu untuk memajukan sistem kehidupan yang sedia ada untuk menjadi lebih bertamadun. Kesempurnaan alam dan kerahsiaan di sebaliknya yang telah diterokai dan dikaji sebelum ini telah memajukan serta memodenkan kehidupan manusia seharian. Jika dilihat daripada tamadun-tamadun terdahulu, pelbagai ilmu yang telah diterokai dan dipraktikkan dalam kehidupan seharian justeru memperbaiki sistem kehidupan sedia ada.

Walau bagaimanapun, di dalam konsep kesempurnaan ini terdapat juga unsur ketakpastian dalam beberapa aspek dalam kehidupan seharian manusia contohnya manusia sentiasa tidak pasti dengan keyakinan diri, keselamatan persekitaran, kehidupan, sosial, psikologi dan juga pengiraan. Ketakpastian ini menjurus kepada tanggapan yang selalu dilakukan oleh manusia dan kesempurnaan sukar dicapai dengan beberapa ketakpastian yang terjadi. Begitu juga dalam kebanyakan ilmu pengetahuan sedia ada yang tidak lari dengan ketakpastian contohnya dalam ilmu matematik yang memperkenalkan matematik kabur untuk mengendalikan ketakpastian dalam pelbagai bidang.

Pengendalian ketakpastian turut digunakan dalam pembentukan model. Kesempurnaan sesuatu model dapat dicapai dengan mengambil kira kesemua data-data yang diperoleh. Kebiasaannya, data-data yang berunsurkan ketakpastian akan disisihkan untuk memperolehi model yang diingini. Walau bagaimanapun, kesempurnaan model tersebut tidak dicapai kerana telah menolak data-data ketakpastian ini.

Teknologi yang canggih pada zaman kini turut memberi sumbangan dalam pemodelan matematik. Misalnya, dengan adanya komputer, pembentukan model dapat dilaksanakan dengan cepat dan sempurna. Hal ini dapat menjimatkan kos dan masa yang sangat banyak jika dibandingkan dengan zaman-zaman terdahulu. Komputer pada zaman moden ini juga dapat mengendalikan sejumlah data yang sangat banyak kerana kemajuan komputer yang sangat memberangsangkan seiring dengan arus modernisasi ini. Oleh itu, data-data yang berunsur ketakpastian ini dapat dikendalikan dengan baik justeru hasil kajian yang sempurna dapat dicapai dengan tempoh yang sangat cepat.

Pembentukan model geometri juga dapat dilakukan dengan adanya Rekabentuk Geometri Berbantuan Komputer (RGBK) atau lebih dikenali sebagai *Computer Aided Geometric Design (CAGD)*. Fungsi-fungsi yang terdapat di dalam RGBK ini dapat membangunkan model lengkung dan juga model permukaan. Walau bagaimanapun, fungsi-fungsi geometri yang sedia ada di dalam RGBK ini tidak dapat membangunkan model data ketakpastian ke dalam bentuk lengkung atau permukaan. Hal ini kerana pembinaan model ketakpastian untuk lengkung atau permukaan yang dilaksanakan untuk menyelesaikan masalah berkenaan adalah mencabar kerana sifat-sifat ketakpastian yang bersifat ambigu dan kekelaman perlu diambil kira. Permasalahan sifat-sifat ketakpastian ini biasanya tidak boleh diselesaikan melalui kaedah statistik (Abd. Fatah, 2008). Contohnya, pemodelan lengkung dan permukaan hanya dapat dibangunkan dengan menggunakan data keahlian penuh sahaja, manakala data yang bukan berkeahlian penuh diabaikan.

Ketakpastian data dapat dikendalikan dengan menggunakan fungsi kabur yang telah dibangunkan sejak 1965. Permasalahan ketakpastian ini dapat diatasi dengan pentakrifan ketakpastian dengan menggunakan fungsi ini. Akan tetapi, wujudnya beberapa masalah yang terdapat dalam fungsi kabur jenis-1 ini untuk mengendalikan secara langsung ketakpastian data-data ini. Fungsi kabur jenis-1 ini mempunyai batasan untuk mentakrifkan ketakpastian yang bertindih iaitu wujudnya

kombinasi ketakpastian dalam sesebuah data. Kombinasi ketakpastian ini dikenali sebagai ketakpastian kompleks.

Ketakpastian kompleks ini berlaku akibat beberapa jenis ketakpastian berlaku dalam masa yang sama dan data yang sama. Contohnya, beberapa ralat harus diambil kira dalam pengambilan data iaitu ralat daripada alat pengambilan data yang digunakan serta ralat daripada persekitaran. Pentakrifian ketakpastian kompleks boleh dilaksanakan dengan menggunakan fungsi kabur jenis-2. Fungsi ini dapat mengendalikan ketakpastian yang lebih tinggi dan fungsi kabur jenis-2 ini merupakan satu definisi yang dikembangkan daripada fungsi kabur jenis-1.

Pembentukan model ketakpastian dan ketakpastian kompleks dapat dibangunkan melalui pentakrifian fungsi-fungsi kabur tersebut seterusnya diaplikasikan dalam pemodelan geometri dengan menggunakan fungsi-fungsi yang terdapat dalam RGBK. Jadi, ketakpastian atau ketakpastian kompleks pada data tidak disisihkan dalam pembentukan model geometri iaitu model lengkung serta model permukaan. Hal ini juga dapat dilaksanakan dalam pembinaan model lengkung dan permukaan Bézier dan splin-B yang terdapat dalam fungsi-fungsi RGBK.

Tujuan tesis ini adalah untuk mengetengahkan Model Kabur Jenis-2 Normal (MKJ2N) yang berasaskan kepada Teori Set Kabur Jenis-2 Normal (TSKJ2N) dalam menangani masalah pemodelan ketakpastian set titik data kompleks. MKJ2N dibangunkan daripada model-model lengkung dan permukaan yang didirikan dengan menggunakan fungsi splin-B dalam bentuk model penghampiran. Konsep bagi mentakrifkan data-data ketakpastian kompleks ini adalah konsep Nombor Kabur Jenis-2 Normal (NKJ2N). Seterusnya, konsep ini diaplikasikan dalam membangunkan model topografi dasar tasik Kenyir.

1.2 Latar Belakang Kajian

Pada tahun 1965, matematik kabur telah mula diperkenalkan oleh Profesor Lofti A. Zadeh. Bidang matematik kabur terbuka luas selepas kertas kerja beliau bertajuk "set kabur" yang diterbitkan di dalam jurnal akademik *Information and Control*. Teori kabur merupakan teori asas set kabur atau fungsi keahlian yang berterusan. Teori kabur boleh diklasifikasikan kepada lima bahagian iaitu:

- i. Matematik kabur, iaitu konsep matematik klasik yang diolah dengan menggantikan set klasik kepada set kabur.

- ii. Logik kabur dan kecerdasan buatan, iaitu penganggaran kepada logik klasik yang diperkenalkan dan sistem yang dikembangkan berdasarkan maklumat kabur dan pertimbangan anggaran.
- iii. Sistem kabur, merupakan pengendalian kabur dan pendekatan kabur dalam pemprosesan dan komunikasi isyarat.
- iv. Maklumat dan ketakpastian, merupakan analisis pelbagai jenis ketakpastian.
- v. Pembuat keputusan kabur, adalah berkaitan dengan masalah pengoptimuman dengan kekangan lembut (Zadeh, 1965).

Kesemua lima bahagian adalah saling berkait rapat antara satu sama lain. Bahagian-bahagian teori kabur tidak berdiri dengan sendiri, sebagai contoh, pengendalian kabur menggunakan konsep daripada matematik kabur dan logik kabur. Kini, matematik kabur telah digunakan secara meluas di dalam pelbagai bidang seperti perubatan, perniagaan, kejuruteraan, ekonomi dan lain-lain lagi termasuk dalam bidang pendidikan (Wang, 1999).

Konsep teori kabur asas yang diperkenalkan oleh Zadeh pada tahun 1965 turut dikenali sebagai Teori Set Kabur Jenis-1 (TSKJ1). Sepuluh tahun selepas itu, Zadeh memperkenalkan Teori Set Kabur Jenis-2 (TSKJ2) untuk mentakrifkan permasalahan ketakpastian kompleks disebabkan oleh batas-batas yang berlaku pada TSKJ1. TSKJ2 telah diperkenalkan dan diterangkan pada tahun 1975 melalui tiga artikel yang dihasilkan oleh beliau dan TSKJ2 digunakan secara meluas pada zaman kini. Walau bagaimanapun, TSKJ2 mula terkenal selepas Karnik dan Mendel berupaya untuk memahami TSKJ2 dan menerbitkan artikel pada tahun 2001. Hal ini kerana konsep TSKJ2 sukar digunakan dan difahami tanpa penjelasan terperinci.

TSKJ1 dan TSKJ2 mempunyai ketakpastian pada nilai keahlilan yang berbeza. Perwakilan TSKJ1 mempunyai ketakpastian pada nilai keahlilan pada set tersebut. Ketakpastian yang dimaksudkan adalah termasuk ralat sukatan, isyarat dan sistem yang bercelaru serta kecuaian manusia. Manakala, TSKJ2 pula mempunyai ketakpastian yang kedua dalam ketakpastian nilai set berbanding TSKJ1 yang hanya mempunyai satu ketakpastian sahaja pada nilai keahlilan. Jadi, perkara ini merupakan kelebihan dan kepentingan TSKJ2 untuk mentakrifkan ketakpastian berbanding TSKJ1.

Dengan bantuan komputer, pengkomputeran geometri telah menjadi satu disiplin baru dalam bidang geometri. Pengkomputeran geometri merupakan salah satu ilmu dan cabang daripada bidang sains komputer yang tertumpu kepada

pembelajaran algoritma serta kepada bidang geometri. Pengkomputeran geometri menggunakan algoritma dan struktur data bagi menyelesaikan masalah menggunakan komputer dalam bentuk geometri diskret terutamanya dalam dua dan tiga dimensi (Silvester, 2001).

Kerja-kerja kajian dalam bidang pengkomputeran geometri bermula pada tahun 60-an iaitu lengkung Bézier diterbitkan secara meluas pada tahun 1962 oleh jurutera Perancis, Pierre Bézier yang digunakan untuk mereka bentuk badan kereta di Renault. Pierre Bézier telah membangunkan alat RGBK, atau lebih dikenali sebagai *CAGD*. Alat ini memberikan perekal untuk membentuk lengkung halus pada skrin komputer dan menggunakan ruang penyimpanan yang minimal untuk menyimpan bahan-bahan reka bentuk (Rogers, 2001). Kajian pengkomputeran geometri kini diteruskan dan diaplikasikan dalam pelbagai bidang. Sifat-sifat beberapa fungsi geometri sedia ada telah dikaji dan ditambahbaik.

Fungsi-fungsi geometri tidak berupaya menangani masalah ketakpastian dengan berkesan kerana hanya mengambil kira titik data rangup dan sebahagian data yang mengandungi tahap ketakpastian akan diabaikan. Jadi, hasil penyesuaian lengkung akan hanya mewakili data berkeahlilan penuh sahaja dan menghiraukan data yang tidak berkeahlilan penuh dalam set semestanya. Data tidak berkeahlilan penuh ini perlulah diambil kira untuk memberikan keputusan yang terbaik dalam analisis dan pemodelannya. Dengan itu, penggabungan idea antara pemodelan geometri dengan teori set kabur membolehkan kita membina beberapa perwakilan matematik dalam bentuk model terbaru yang bercirikan kecaburan. Fungsinya boleh mewakili dan merangkumi kesemua aspek data, iaitu bahagian rangup dan kabur adalah terangkum dalam hasil penyesuaianya (Abd. Fatah, 2008).

Kebiasaannya pemodelan geometri dimodelkan melalui set data melalui perwakilan lengkung dan permukaan yang menggunakan konsep nombor kabur. Set titik data yang digunakan untuk mentakrifkan ketakpastian data akan menjadi titik data kabur yang akan merungkai kesukaran dalam memodelkan lengkung dan permukaan menggunakan ketakpastian data (Rozaimi & Abd. Fatah, 2014). Konsep nombor kabur iaitu TSKJ2 diguna pakai untuk mentakrifkan ketakpastian data yang menjadi titik data kabur.

Oleh yang demikian, tesis ini berasaskan TSKJ2N dalam pemodelan data ketakpastian kompleks melalui kaedah penghampiran bagi model lengkung dan permukaan geometri yang dibentuk oleh fungsi splin-B. Fungsi ini dipilih kerana